

КРАТКИЕ СООБЩЕНИЯ

УДК 621.315.592

**КИНЕТИКА ФОТОПРОВОДИМОСТИ
ФЕРРОМАГНИТНЫХ ПОЛУПРОВОДНИКОВ CdCr_2Se_4
И HgCr_2Se_4 В ШИРОКОМ ДИАПАЗОНЕ
ИНТЕНСИВНОСТИ СВЕТА**

*B. C. Викторович, A. P. Галдикас, C. И. Гребинский,
C. Я. Захаров, T. Г. Аминов, Г. Г. Шабунина*

В [1] обнаружено, что ферромагнитные полупроводники CdCr_2Se_4 , HgCr_2Se_4 и EuO при их освещении светом интенсивностью $I > 10^6 \text{ Вт}/\text{см}^2$ отличаются очень короткими временами релаксации фотопроводимости ($\tau = 10^{-9} \div 10^{-11} \text{ с}$). Эти результаты согласуются с данными о сверхбыстром спаде люминесценции CdCr_2Se_4 при сильном возбуждении [2]. В то же время известно, что релаксация фотопроводимости CdCr_2Se_4 при слабой интенсивности света является сравнительно медленной, $\tau = 10^{-4} \div 10^{-1} \text{ с}$ [3]. Очевидно, что для выяснения механизмов релаксации и оценки числа фотоактивных центров в упомянутых полупроводниках необходимы исследования кинетики фотопроводимости в широком диапазоне интенсивности света. В настоящей работе такие исследования проведены для CdCr_2Se_4 и HgCr_2Se_4 .

Изучались специально нелегированные монокристаллы HgCr_2Se_4 и CdCr_2Se_4 с проводимостью *p*-типа с удельными сопротивлениями соответственно $\rho \approx 10^3$ (при 78 К) и $\rho \approx 10^7 \text{ Ом}\cdot\text{см}$ (при 300 К). Источником света являлся лазер на АИГ: Nd, излучающий свет с длиной волны 1.06 мкм. Методика эксперимента описана в [4]. Измерения проводились при указанных температурах, что связано с экспериментальными требованиями к сопротивлению образцов. В пикосекундной области времен кинетика фотопроводимости изучалась корреляционным методом [5].

Измерения показали, что при слабой интенсивности света $I \leq 1 \text{ Вт}/\text{см}^2$ «мгновенное» время релаксации $\tau \approx 10^{-4} \text{ с}$ для CdCr_2Se_4 , что согласуется с [3], и $\tau \approx 3 \cdot 10^{-5} \text{ с}$ для HgCr_2Se_4 . Использование «мгновенного» времени [6] обусловлено неэкспоненциальностью спада фотопроводимости. Увеличение I приводит к быстрому уменьшению τ (см. рисунок). Когда I достигает $10^6 \text{ Вт}/\text{см}^2$, для CdCr_2Se_4 $\tau < 2.5 \cdot 10^{-11} \text{ с}$. Для HgCr_2Se_4 при $I > 10^6 \text{ Вт}/\text{см}^2$ в спаде фотопроводимости наблюдается «быстрая» ($\tau_1 \approx 5 \times 10^{-11} \text{ с}$) и «медленная» ($\tau_2 \approx 5 \cdot 10^{-10} \text{ с}$) составляющие релаксации; τ_1 и τ_2 не зависят от I . Люкс-амперные характеристики образцов являются прямыми до $I = 10^8 \text{ Вт}/\text{см}^2$.

Полученные результаты могут быть объяснены, если предположить, что дефекты решетки образуют центры рекомбинации и прилипания. Тогда время релаксации фотопроводимости τ для безызлучательной рекомбинации будет связано с временем жизни носителей заряда τ_0 соотношением [6]

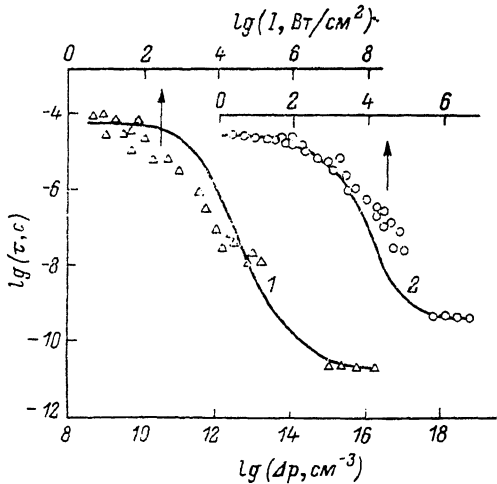
$$\tau = \tau_0 [1 + MN_v^M / (p_0 + \Delta p + N_v^M)^2], \quad (1)$$

где M — концентрация уровней прилипания; p_0 , Δp — концентрации равновесных и неравновесных носителей заряда, которые для *p*-CdCr₂Se₄ и *p*-HgCr₂Se₄ являются дырками [3, 4]; $N_v^M = N_v \exp(-\Delta E_M/kT)$, N_v —

эффективная плотность состояний в валентной зоне, ΔE_M — энергия активации уровней прилипания, k — константа Больцмана, T — температура. Согласно (1), увеличение I и тем самым Δp приводит к уменьшению τ , что и наблюдается в эксперименте. Из (1) также следует зависимость τ от мгновенного значения Δp , т. е. неэкспоненциальность релаксации фотопроводимости.

Измеренные экспериментально и рассчитанные по (1) зависимости τ от Δp приведены на рисунке. В случае $HgCr_2Se_4$ при $I > 10^6$ Вт/см² для сравнения теории и эксперимента использовано значение $\tau = 5 \cdot 10^{-10}$ с, так как скорее всего «медленная» составляющая релаксации обусловлена дырками [1, 4]. Предполагалось, что для $CdCr_2Se_4$ при $I > 10^6$ Вт/см² $\tau = 2.5 \cdot 10^{-11}$ с и не зависит от I ,

что оправдано линейностью люкс-амперных характеристик. Концентрацию неравновесных дырок определяли из измерений фотопроводимости [6], считая, что $\Delta p = \text{const} \neq 0$ в слое образца, толщина которого $1/\alpha$ гораздо меньше размеров образца. Значе-



Зависимость «мгновенного» времени релаксации от интенсивности света и концентрации неравновесных дырок.

Точки — эксперимент, кривые — расчет.
1 — $CdCr_2Se_4$, 300 К; 2 — $HgCr_2Se_4$, 78 К.

ния коэффициента поглощения света были взяты из [7, 8]: $\alpha = 10^4$ см⁻¹ для $HgCr_2Se_4$ и $5 \cdot 10^2$ см⁻¹ для $CdCr_2Se_4$. Равновесная концентрация дырок и их подвижность, необходимая для определения Δp , находились из холловских измерений. N_v^M определяли из (1), используя данные о τ при разных I в области слабых интенсивностей света, когда в (1) можно пренебречь единицей по сравнению со вторым множителем. Получено, что $N_v^M \approx 10^{11}$ см⁻³ для $CdCr_2Se_4$ и $\approx 5 \cdot 10^{14}$ см⁻³ для $HgCr_2Se_4$. При таких параметрах рассчитанная зависимость $\tau(\Delta p)$ описывает эксперимент при $M = 10^{18}$ и $5 \cdot 10^{19}$ см⁻³ для $CdCr_2Se_4$ и $HgCr_2Se_4$ соответственно.

Концентрацию центров рекомбинации N можно оценить из соотношения $N \approx (\sigma v \tau_0)^{-1}$, где τ_0 при $I > 10^6$ Вт/см² совпадает с измеряемым временем релаксации; $v = 10^7$ см/с — тепловая скорость дырок; $\sigma = 10^{-15}$ см⁻² — типичное значение сечения захвата [9]: $N \approx 2 \cdot 10^{17}$ см⁻³ для $HgCr_2Se_4$ и $\sim 4 \cdot 10^{19}$ см⁻³ для $CdCr_2Se_4$. Полученные большие значения концентрации уровней прилипания и рекомбинации не противоречат данным о числе дефектов решетки в хромовых шпинелях.

Таким образом, уменьшение времени релаксации фотопроводимости $CdCr_2Se_4$ и $HgCr_2Se_4$ p -типа при увеличении I можно объяснить, учитывая прилипание носителей заряда. Отметим, что из (1) также следует наблюдавшееся в [3] уменьшение τ при слабой I с увеличением концентрации серебра в $CdCr_2Se_4$: Ag, если уровнями прилипания являются заполненные акцепторные уровни. На правомерность последнего предположения указывает совпадение энергий активации электропроводности и времени релаксации фотопроводимости в $CdCr_2Se_4$ [3] и $HgCr_2Se_4$ [4]. Активационный характер зависимости τ от температуры следует из (1) при Δp , $p_0 \ll \ll N_v^M$ и Δp^2 , $p_0^2 \ll M N_v^M$.

Авторы выражают благодарность Р. Дагису за плодотворные дискуссии и З. Добровольскису за предоставление возможности изучения кинетики фотопроводимости в пикосекундной области.

- [1] Адомайтис Э., Галдикас А., Шабунина Г. Г. ФТТ, 1987, т. 29, № 1, с. 266—268.
[2] Ping-Pei Ho, Lam W., Katz A. et al. J. Quant. El., 1986, vol. 22, N 1, p. 205—208.
[3] Бержанский В. Н., Чернов В. К. ФТТ, 1980, т. 22, № 10, с. 3179—3181.
[4] Викторович В., Галдикас А., Гребинский С. и др. Лит. физ. сб., 1987, т. 27, № 4, с. 448—454.
[5] Johnson A. M. In: Semiconductors Probed by Ultrafast Laser Spectroscopy, v. II. Ed. by R. R. Alfano. Ac. Press, New York, 1984.
[6] Рыжкин С. М. Фотоэлектрические явления в полупроводниках. М., 1963, с. 484.
[7] Harbeck G., Lehmann H. W. Sol. St. Commun., 1978, vol. 30, N 16, p. 1281—1285.
[8] Кунькова З. Э., Голик Л. Л., Пакссеев В. Е. ФТТ, 1983, т. 25, № 6, с. 1877—1879.
[9] Абакумов В. Н., Перель В. И., Яссевич И. Н. ФТП, 1978, т. 12, № 1, с. 3—32.

Институт физики полупроводников АН ЛитССР
Вильнюс

Поступило в Редакцию
20 октября 1987 г.

УДК 539.21

Физика твердого тела, том 30, в. 11, 1988
Solid State Physics, vol. 30, № 11, 1988

ВЛИЯНИЕ ЭНТРОПИЙНЫХ И ЭНЕРГЕТИЧЕСКИХ ФАКТОРОВ НА ФАЗОВЫЙ ПЕРЕХОД В СУПЕРИОННЫХ ПРОВОДНИКАХ $Pb_xCd_{1-x}F_2$

*М. Я. Валах, И. Косацкий, Э. Ю. Кушнир,
А. П. Литвинчук, Г. Г. Тарасов*

Кристаллы PbF_2 со структурой флюорита являются представителями одного из типов суперионных соединений с анионной проводимостью. Фазовый переход в высокопроводящее состояние связан с «плавлением» подрешетки фтора. В ряду однотипных соединений BaF_2 , SrF_2 , CaF_2 фторид свинца характеризуется наименьшей температурой перехода в суперионное состояние $T_c \approx 705$ К [1], что связано с особенностями энергетической структуры и межатомных взаимодействий в этом кристалле [2]. В отличие от идеального кристалла разупорядочение структуры примесного кристалла в значительной степени определяется внедренными атомами. Последние в случае неизоэлектронной примеси приводят как к увеличению концентрации вакантных узлов или междоузельных ионов, так и к существенному изменению энергетики дефектов Френкеля. В кристаллах с изоэлектронными катионными примесями происходит замещение в «жесткой» подрешетке. Это на первый взгляд не должно влиять на характер разупорядочения анионной подрешетки фтора. Однако, как показано ниже, для твердых растворов замещения суперионных проводников $Pb_xCd_{1-x}F_2$ наблюдаются аномалии их тепловых свойств, обусловленные изменением межатомных взаимодействий.

Экспериментальные исследования фазовых переходов в кристаллических твердых растворах $Pb_xCd_{1-x}F_2$ компонентного состава $0.42 \leq x \leq 1$ выполнены методом дифференциальной сканирующей калориметрии на ДСК-2 («Сетарам», Франция). Образцы массой около 70 мг в запаянных на воздухе кварцевых ампулах нагревали со скоростью 5 К/мин в интервале температур 298—850 К. Измерения с меньшими скоростями сканирования показали, что выбранная скорость гарантировала квазизотермические условия эксперимента. Приведенные ниже экспериментальные результаты получены по стандартной методике [3]. До и после измерения кривой ДСК образца в тех же условиях осуществлялись базовые сканирования с пустыми чашками и соответствующая базовая линия вычиталась из кривой ДСК. Градуировка калориметра по температуре осуществлялась